

Technical Information:
 These data were acquired during a fixed-wing gravity gradiometric and magnetic survey carried out by Fugro Airborne Surveys between January 26 and March 12, 2011. The survey was flown using a Cessna Caravan 500B aircraft (CG-GR01) equipped with a FALCON airborne gravity gradiometer, a Scintrex magnetic sensor, and a Realiser laser scanner. The nominal traverse line spacing was 200 m, with control line spacing of 2500 m. The nominal aircraft altitude was 100 m above ground. The traverse lines were oriented at 135°E and control lines were flown parallel to the traverse and control lines. The flight path was recovered with post-flight differential GPS. The survey was carried out according to a detailed flight plan in order to minimize the effects of attitude between the traverse and control lines. This survey was jointly funded by the Earth Sciences Sector, Natural Resources Canada and the Ontario Geological Survey.

Gravity:
 The Fourier-derived vertical gravity gradient (g_{zz}) was generated from digitally recorded data assuming a crustal density of 2.20 g/cm³. The gravimetric data were corrected for the time-varying response from residual aircraft motion due to moving masses. Terrain effect was removed using a density of 2.20 g/cm³ applied to a 10 m regular grid. The two acquired covariance components of the gravity gradient tensor were levelled and transformed into the full gravity gradient tensor and the vertical gravity component.

The Fourier-derived vertical component of gravity (g_v) was generated from digitally recorded data assuming a crustal density of 2.20 g/cm³. The gravimetric data were corrected for the time-varying response from residual aircraft motion due to moving masses. Terrain effect was removed using a density of 2.20 g/cm³ applied to a 10 m regular grid. The two acquired covariance components of the gravity gradient tensor were levelled and transformed into the full gravity gradient tensor. The Fourier method used to derive the tensor also includes data from the Canadian Gravity Anomaly Data Base to confirm and integrate long wavelength gravity outside the sensitivity of the gradiometer.

Magnetics:
 The magnetic field was sampled 10 times per second using a split-beam cesium vapour magnetometer (sensitivity = 0.005 nT) rigidly mounted to a Falcon aircraft. Differences in magnetic field at the intersections of control traverse lines were analysed to obtain a mutually levelled set of flight-line magnetic data. The levelled values were then reprojected to a 50 m grid. The International Geomagnetic Reference Field (IGRF) values were subtracted from the levelled data to obtain a residual component related essentially to magnetization within the Earth's crust. The magnetic residual grid was then adjusted to Residual Total Magnetic field 200 m grid of Canada.

The first vertical derivative of the magnetic field is the rate of change of the magnetic field in the vertical direction. Computation of the first vertical derivative removes long-wavelength features of the magnetic field and significantly improves the resolution of closely spaced and suppressed anomalies. A property of first vertical derivative maps is the coincidence of the zero-value contour with vertical contacts at high magnetic latitudes (Hood, 1965).

Keating Correlation Coefficients:
 This pattern recognition technique (Keating, 1965) for identifying roughly circular anomalies consists of computing the correlation coefficient, over a moving window, between a vertical cylinder model anomaly and the gridded magnetic data. Results above a correlation coefficient threshold of 80% were depicted as circular symbols, scaled to reflect the correlation value. The most favourable targets are those that exhibit a cluster of high correlation coefficients. The cylinder model parameters for the survey are as follows: diameter: 200 m; infinite length; depth: 27.5 m; magnetic inclination: 77°N; magnetic declination: 8°W; window size: 1000 m x 1000 m.

Renseignements techniques:
 Ces données ont été acquises au cours d'un levé gravimétrique et magnétique par avion, effectué par Fugro Airborne Surveys entre le 26 janvier et le 12 mars 2011. Les données gravimétriques ont été corrigées pour tenir compte de la réponse variable dans le temps du déplacement résiduel de l'avion, due à des masses en mouvement. L'effet du terrain a été éliminé en utilisant une densité de 2,20 g/cm³ appliquée à une grille régulière de 10 m. Les deux composantes de covariance du tenseur de gradient de gravité, acquises par le capteur, ont été nivelées et transformées en un tenseur de gradient de gravité complet. La méthode de Fourier utilisée pour calculer le tenseur inclut également des données de la Base canadienne de données gravimétriques (anciennement de levé complet) et d'intégrer les valeurs de gravité à grande longueur d'onde à l'extérieur de la plage de sensibilité du gradiomètre.

Gravité:
 Le gradient vertical gravimétrique (g_{zz}) obtenu par la méthode de Fourier a été généré à partir des données enregistrées numériquement en supposant une densité de 2,20 g/cm³. Les données gravimétriques ont été corrigées pour tenir compte de la réponse variable dans le temps du déplacement résiduel de l'avion, due à des masses en mouvement. L'effet du terrain a été éliminé en utilisant une densité de 2,20 g/cm³ appliquée à une grille régulière de 10 m. Les deux composantes de covariance du tenseur de gradient de gravité, acquises par le capteur, ont été nivelées et transformées en un tenseur de gradient de gravité complet. La méthode de Fourier utilisée pour calculer le tenseur inclut également des données de la Base canadienne de données gravimétriques (anciennement de levé complet) et d'intégrer les valeurs de gravité à grande longueur d'onde à l'extérieur de la plage de sensibilité du gradiomètre.

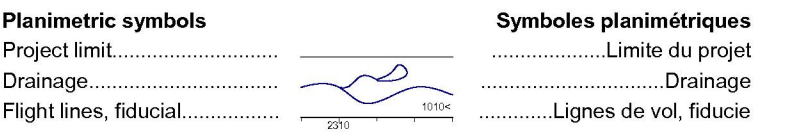
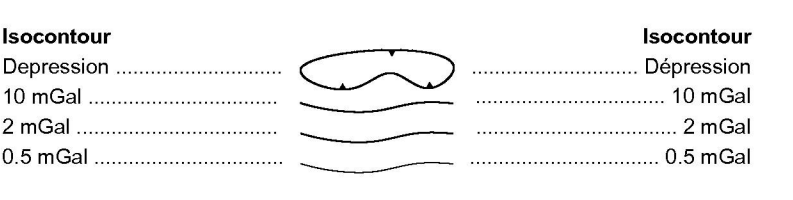
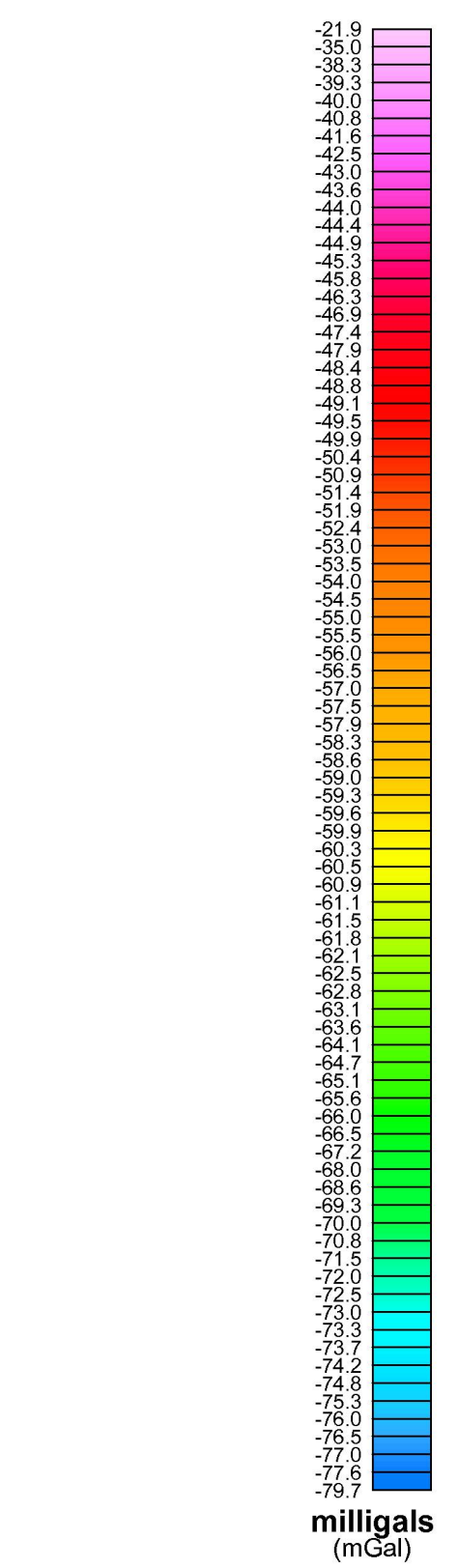
Magnétisme:
 Le champ magnétique a été échantillonné 10 fois par seconde à l'aide d'un magnétomètre à vapeur de césium à faisceau partagé (sensibilité = 0,005 nT) rigidement fixé à l'avion. Les différences de valeur du champ magnétique aux intersections des lignes de contrôle et des lignes de levé ont été analysées afin d'obtenir un jeu de données sur le champ magnétique mutuellement nivelées sur les lignes de vol. Ces valeurs nivelées ont été réduites à l'échelle d'une grille à maille de 50 m. Le champ géomagnétique international de référence (International Geomagnetic Reference Field, IGRF) a été soustrait des données nivelées de 275 m pour les données GPS pour l'année 2011-03-01 à été soustrait. La soustraction de l'IGRF, qui représente le champ magnétique du noyau terrestre, fournit une composante résiduelle essentiellement liée à la magnétisation de la croûte terrestre. La grille de la composante résiduelle a ensuite été ajustée à la grille de 200 m du champ magnétique résiduel du Canada.

La dérivée première verticale du champ magnétique représente le taux auquel varie le champ magnétique suivant la verticale. Le calcul de la dérivée première verticale supprime les composantes de grande longueur d'onde du champ magnétique et améliore considérablement la résolution des anomalies rapprochées ou supprimées. Une des propriétés des cartes de la dérivée première verticale est la coïncidence de la courbe de valeur zéro avec des contacts verticaux aux hautes latitudes magnétiques (Hood, 1965).

Coefficients de corrélation Keating:
 Cette technique de reconnaissance de forme (Keating, 1965) pour l'identification d'anomalies plus ou moins circulaires consiste à calculer le coefficient de corrélation dans une fenêtre mobile entre le modèle d'une anomalie d'un cylindre vertical et les données magnétiques de la grille. Les résultats qui ont un coefficient de corrélation supérieur à un seuil de 80% sont montrés sous forme de cercles ayant une dimension reflétant leur valeur de corrélation. Les cibles les plus favorables sont celles qui présentent des groupements de coefficients de corrélation élevés. Les paramètres du modèle du cylindre sont les suivants pour ce levé : diamètre 200 m; longueur infinie; profondeur: 27,5 m; inclinaison magnétique: 77°N; déclinaison magnétique: 8°W; fenêtre: 1000 m x 1000 m.

Digital versions of this map can be downloaded, at no charge, from Natural Resources Canada's Geoscience Data Repository (MIRAGE) at <http://mirage.nrc.ca>. The digital data may also be downloaded, free of charge, from Natural Resources Canada's Geoscience Data Repository for Gravity Data at <http://grain.nrc.ca/gravity>. Digital versions of the map and digital data may also be downloaded from the Ontario Ministry of Northern Development, Mines and Forestry web portal (GeologyOntario) www.geologyontario.com. The same products are also available, for a fee, from the Geospatial Data Centre, Geological Survey of Canada, 615 Booth Street, Ottawa, Ontario, K1A 0E8; telephone: (613) 993-5208; email info@gsd.nrc.ca, or from Publication Sales at the Ministry of Northern Development, Mines and Forestry; telephone: (613) 993-5244 ext. 5691; email pubsales@mdmfc.gc.ca.

Des versions numériques de cette carte peuvent être téléchargées sans frais depuis l'Entrepôt de données géoscientifiques de Ressources naturelles Canada (MIRAGE) à l'adresse <http://mirage.nrc.ca>. Les données numériques peuvent également être téléchargées sans frais depuis l'Entrepôt de données géoscientifiques de Ressources naturelles Canada - Données gravimétriques à l'adresse <http://grain.nrc.ca/gravity>. Les versions numériques des cartes et des données numériques peuvent également être téléchargées depuis le portail du ministère du Développement du Nord, des Mines et des Forêts de l'Ontario (GeologyOntario) à l'adresse <http://www.geologyontario.com>. Les mêmes produits sont également disponibles, moyennant des frais, en s'adressant au Centre de données géospatiales, Commission géologique du Canada, 615 rue Booth, Ottawa, Ontario, K1A 0E8; téléphone: (613) 993-5208; courriel: info@gsd.nrc.ca, ou aux services de vente des publications de la Commission géologique de l'Ontario; téléphone: (613) 993-5244 ext. 5691; courriel: pubsales@mdmfc.gc.ca.



MAP SHEET SUMMARY / SOMMAIRE DES FEUILLETS

SHEET / FEUILLET	MAP / CARTE
1	Vertical Gravity Gradient Gradient vertical gravimétrique
2	Vertical Component of Gravity Composante verticale de la gravité
3	Residual Total Magnetic Field Composante résiduelle du champ magnétique total
4	First Vertical Derivative of the Magnetic Field Dérivée première verticale du champ magnétique

This airborne geophysical survey and the production of this map were funded by the fourth phase of the Targeted Geoscience Initiative (TG-4) Program of the Earth Sciences Sector, Natural Resources Canada, as well as the Ontario Geological Survey (OGS).
 Ce levé géophysique aéroporté et la production de cette carte ont été financés par la quatrième phase du programme de l'Initiative géoscientifique ciblée (IG-4) du Secteur des sciences de la Terre, Ressources naturelles Canada, ainsi que par la Commission géologique de l'Ontario (CGO).

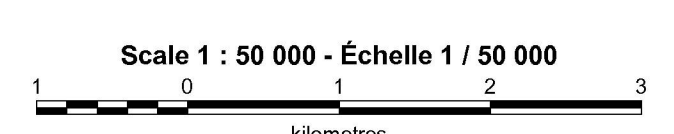
Authors: Dumont, R. and Hefford, S.W.
 Data acquisition, compilation and map production by Fugro Airborne Surveys, Ottawa, Ontario.
 Contract and project management by the Geological Survey of Canada, Ottawa, Ontario.
 Quality assurance for the portion of the survey funded by the CGS was completed by Paterson, Grant and Watson Limited.



GSC OPEN FILE 6938 / DOSSIER PUBLIC 6938 DE LA CGC
 OGS MAP 82 528 / CARTE 82 528 DE LA CGO

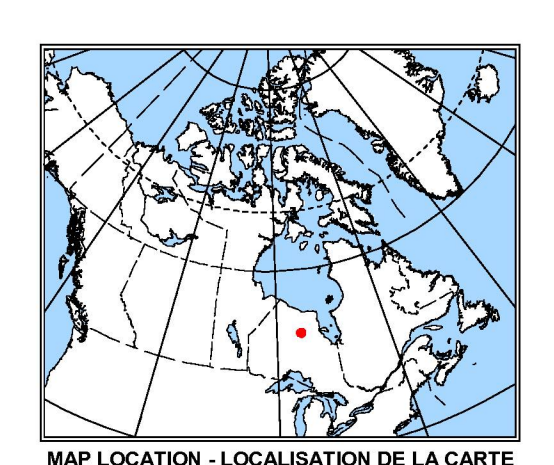
**AIRBORNE GRAVITY GRADIOMETER AND MAGNETIC SURVEY OF THE MCFaulds LAKE AREA
 LEVÉ AÉROPORTÉ GRADIO-GRAVIMÉTRIQUE ET MAGNÉTIQUE DE LA RÉGION DU LAC MCFaulds**
 NTS 43 D/10 and part of 43 D/15 / SNRC 43 D/10 et partie de 43 D/15
 ONTARIO

**VERTICAL COMPONENT OF THE GRAVITY
 COMPOSANTE VERTICALE DE LA GRAVITÉ**



Universal Transverse Mercator Projection
 North American Datum 1983
 © Her Majesty the Queen in Right of Canada 2011
 Projection transversale universelle de Mercator
 Système de référence géodésique nord-américain, 1983
 © Sa Majesté la Reine du chef du Canada, 2011

Auteurs : Dumont, R. et Hefford, S.W.
 L'acquisition et la compilation des données, ainsi que la production des cartes, ont été effectuées par Fugro Airborne Surveys, Ottawa, Ontario.
 La gestion et la supervision du projet ont été effectuées par la Commission géologique du Canada, Ottawa, Ontario.
 Le contrôle de la qualité pour la partie du levé financée par la Commission géologique de l'Ontario a été effectué par Paterson, Grant and Watson Limited.



Ontario
 ONTARIO GEOLOGICAL SURVEY
 Map Number
82 528
 Geophysical Data Set
1068

**OPEN FILE
 DOSSIER PUBLIC**
6938
 GEOLOGICAL SURVEY OF CANADA
 COMMISSION GÉOLOGIQUE DU CANADA
 2011
 F001EP F04

**AIRBORNE GRAVITY GRADIOMETER AND MAGNETIC SURVEY OF THE MCFaulds LAKE AREA
 LEVÉ AÉROPORTÉ GRADIO-GRAVIMÉTRIQUE ET MAGNÉTIQUE DE LA RÉGION DU LAC MCFaulds**

Recommended Citation:
 Dumont, R. and Hefford, S.W., 2011.
 Geophysical series.
 Airborne Gravity Gradiometer and Magnetic Survey of the McFaulds Lake Area, NTS 43 D/10 and part of 43 D/15, Ontario.
 Geological Survey of Canada, Open File 6938, Ontario Geological Survey, Map 82 528, scale 1:50 000.

Notation bibliographique conseillée:
 Dumont, R. et Hefford, S.W., 2011.
 Série des cartes géophysiques.
 Levé aéroporté gravimétrique et magnétique de la région du lac McFaulds, SNRC 43 D/10 et partie de 43 D/15, Ontario.
 Commission géologique du Canada, Dossier public 6938, Commission géologique de l'Ontario, Carte 82 528, échelle 1:50 000.